

علمی-پژوهشی

مطالعه تاثیر رویکرد لزجت گرداهای در اصلاح مدل رتبه کاسته مبتنی بر تجزیه مود دینامیکی برای پیش‌بینی رفتار بلند مدت معادلات نفوذ-جابجایی

محمد کاظم مویدی^۱زهره خاکزاری^۲فرشاد صباغزادگان^۳

آزمایشگاه پژوهشی اتمسفر زمین و علوم فضایی، دانشکده مهندسی مکانیک، دانشگاه قم، قم، ایران

تاریخ دریافت: ۱۴۰۰/۱۰/۰۸؛ تاریخ پذیرش: ۱۴۰۱/۰۲/۲۰

چکیده

در این پژوهش با استفاده از روش تجزیه مودهای دینامیکی و با بهره‌گیری از مفاهیم دینامیکی، معادله برگز لزج به صورت یک مدل رتبه کاسته مبتنی بر داده و فیزیک، تبدیل شده است. بر همین اساس، مبتنی بر تصویرسازی معادله حاکم در فضای برداری مودهای میدان، مدل کاهش مرتبه یافته با توجه به ویژگی مودهای اصلی بدست می‌آید. این الگو به منظور شبیه‌سازی تغییرات زمانی سیستم در بازه زمانی بلند می‌تواند دچار ناپایداری شود. از این‌رو از رویکردی مبتنی بر مفهوم لزجت گرداهای برای پایدارسازی رفتار مدل کمک گرفته شده است. این اصلاح سبب می‌شود مدل رتبه کاسته به درستی بتواند جایگزین معادله اصلی شده و با دقت بسیار مناسبی رفتار سیستم موردنظر را پیش‌بینی کند. مقایسه نتایج حاصل از مدل رتبه کاسته حاضر با شبیه‌سازی‌های حاصل از حل دقیق، دقت بالا در محاسبات را نشان می‌دهد.

واژه‌های کلیدی: مدل رتبه کاسته، معادله برگز لزج، تجزیه مودهای دینامیکی، الگوی لزجت گرداهای

Studying the Effect of Eddy Viscosity Closure on the Calibration of the DMD based Reduced-order Model to Predict the Long-term Behavior of Convection-Diffusion Equations

Moayyedi, M. K.

Khakzari, Z.

Sabaghzadegan, F.

Space Science and Earth Atmosphere Research Lab. Department of Mechanical Engineering

University of Qom

(Received: 29/December /2021; Accepted: 10/May/2022)

ABSTRACT

In this research, using the dynamic modes decomposition and using the basic concepts of the dynamical system, a data driven-physics informed reduced-order model has been developed for the viscous Burgers equation. Accordingly, based on the projection of the governing equation into the modal space, a reduced model is obtained according to the characteristics of the dominant modes. This model when used to simulate the field dynamics over a long time period, may become unstable. Therefore, an approach based on the concept of eddy viscosity closure has been used to stabilize the model behavior. This modification allows the reduced-order model to be a surrogate model of the original equation and predict the time evolution of the dynamical system with relative good accuracy. Comparing the results of the present reduced order model with the data obtained from the direct numerical simulations shows a high computational accuracy.

Keywords: Reduced Order Model, Viscous Burgers Equation, Dynamic Modes Decomposition, Eddy Viscosity Closure.

۱- استادیار بخش مهندسی مکانیک: moayyedi@qom.ac.ir

۲- دانشجوی کارشناسی ارشد

۳- دستیار پژوهشی

تجزیه و تحلیل سازه‌های منسجم نزدیک دیوار در لوله‌هایی با جریان آشفته پژوهشی انجام دادند. مؤیدی و همکاران [۶] از روش تجزیه متعامد بهینه جهت ایجاد الگوی رتبه کاسته برای مسائل نفوذ دوبعدی و مسئله نفوذ-جابجایی استفاده کردند؛ اما در سال‌های اخیر، پژوهشگران با مطالعه بر روی فیزیک سیالات و تعمیم روش آرنولدی [۷ و ۸]، موفق به توسعه روشی قدرتمند در راستای تجزیه و تحلیل دینامیک سیستم‌های غیرخطی شدند. این روش که تنها مبتنی بر دسته نمایه‌های ثبت‌شده حاصل از حل عددی دقیق و یا نتایج آزمایشگاهی می‌باشد. ابتدا توسط اشمید و سترهن [۹] با هدف استخراج اطلاعات دینامیکی میدان جریان معرفی گردید. رولی و همکاران [۱۰] برای شبیه‌سازی جریان یک جت در مقیاس بزرگ از روش تجزیه مودهای دینامیکی استفاده کردند. توماس و همکاران [۱۱] با استفاده از روش‌های تجزیه متعامد بهینه و تجزیه مودهای دینامیکی موفق به استخراج ساختارهای اصلی و حائز اهمیت جریان شبیه‌سازی شده در ناحیه گردابه‌های، اطراف یک قطار در حال حرکت با سرعت بالا شده و به مقایسه این دو روش پرداختند. دوک و همکاران [۱۲] با استفاده از روش تجزیه مودهای دینامیکی، نرخ رشد ناپایداری جریان را موردنرسی قرار دادند. سنا [۱۳] نیز با استفاده از این روش جریانی درون یک حفره را موردنرسی قرار داد و موفق به شناسایی مودهایی با قابلیت خود نوسانی گردید. لیو [۱۴] نیز با استفاده از این روش به تجزیه و تحلیل اغتشاشات فشاری به وجود آمده توسط جریانی درون یک حفره و با سرعتی معادل سرعت صوت پرداخت. هونگ و همکاران [۱۵] با استفاده از روش تجزیه مودهای دینامیکی، به کنترل میدان جریان ناپایایا درون یک دیفیوزر پرداختند. لی و همکاران [۱۶] از روش تجزیه مود دینامیکی برای جریان عبوری از یک سیلندر مربعی شکل در عدد رینولدز ۲۲۰۰۰ استفاده کردند. سان و همکاران [۱۷] یک جریان ناپایدار بر روی یک توربین بادی دو پره را با استفاده از شبیه‌سازی گردابه‌ای از روش تجزیه مود دینامیکی موردنرسی قرار دادند. مؤیدی و همکاران [۱۸] از روش تجزیه مود دینامیکی جهت ایجاد الگوی رتبه کاسته برای مسئله نفوذ حرارتی دوبعدی و ناپایایا استفاده کردند و با استفاده از شبیه‌سازی در مدت زمان بلند به ازای یک ضریب نفوذ مشخص یا در یک بازه زمانی کوتاه، اثرگذاری ضریب

۱- مقدمه

امروزه یکی از مهم‌ترین نیازهای صنعت کاهش زمان محاسبات است که باعث کاهش هزینه‌ها و کوتاه‌تر شدن زمان طراحی می‌شود؛ بنابراین دستیابی به روش‌هایی جهت کاهش حجم محاسبات، کاهش حجم مورد نیاز برای ذخیره‌سازی داده‌ها و افزایش زمان بهره‌وری مفید از طرح، از جمله عمدۀ ترین بررسی‌های صورت گرفته در دهه‌های اخیر می‌باشد. برای مثال، می‌توان میدان جریان سیال را به عنوان یک سیستم دینامیکی که با گذر زمان دچار تغییرات تصادفی می‌شود معرفی کرد. پیشرفت‌های اخیر در زمینه ساخت‌افزارهای محاسباتی توانسته تا حدود زیادی زمان محاسبات را کاهش دهد. اما علاقه محققان به بررسی جزئیات بیشتر یک پدیده فیزیکی، باعث افزایش پیچیدگی‌های معادلات حاکم بر مسئله می‌گردد؛ لذا، لزوم دستیابی به یک الگوی سریع و دقیق که قادر به مدل‌سازی مسئله (با هر درجه از پیچیدگی) باشد، همچنان وجود دارد. این مشکلات باعث شده است تا در تحقیق حاضر برای کاهش هزینه‌های محاسباتی مسائل از الگوهای رتبه کاسته استفاده گردد. روشی که بیشتر از سایر روش‌ها توسط پژوهشگران این حوزه برای بررسی رفتار سیالات مورداستفاده واقع شده است، روش «تجزیه متعامد بهینه» است. این روش یکی از متداول‌ترین روش‌ها برای کاهش مرتبه مسئله به شمار می‌رود [۱]. لیگرسلی و همکاران [۲] یک مدل رتبه کاسته بر مبنای روش تجزیه متعامد بهینه و به منظور طراحی ایرفویل استفاده کرده و با بهینه‌سازی آن را توسعه دادند. در این مقاله یک مدل غیرخطی بر اساس توابع پایه خطی‌سازی شده محسنه و با بهره‌گیری از کمینه‌سازی تابع هدف تعریف شده برای فشار سطحی ایرفویل، شکل هندسی بهینه ایرفویل محاسبه شد. فاگیانو و گاتی [۳] از مدل رتبه کاسته برای شبیه‌سازی قوس پلاسما در دستگاه‌های توزیع کننده استفاده کردند. انصاری و همکاران [۴] نیز با استفاده از روش تجزیه متعامد بهینه موفق به توسعه مدل رتبه کاسته‌ای با هدف شبیه‌سازی الکتروشیمیایی باتری سرب-اسید شدند. آن‌ها تغییرات غلظت اسید و ولتاژ باطری را در طی سه مرحله تخلیه، استراحت و شارژ به روش رتبه کاسته شبیه‌سازی کردند. آبرو و همکاران [۵] بر روی تجزیه طیفی متعامد بهینه و

منظور برای محاسبه ترم غیرخطی از روش بالادست مرتبه اول:

$$u \frac{\partial u}{\partial x} = \begin{cases} u_i \frac{u_i - u_{i-1}}{\Delta x} & \text{if } (u_i > 0) \\ u_i \frac{u_{i+1} - u_i}{\Delta x} & \text{if } (u_i < 0) \end{cases} \quad (2)$$

و برای ترم خطی نفوذ از روش تفاضل مرکزی مرتبه دوم استفاده شده است:

$$\frac{\partial^2 u}{\partial x^2} = \frac{u_{i+1} - 2u_i + u_{i-1}}{\Delta x^2} \quad (3)$$

همچنین برای انگرال گیری زمانی نیز از روش رانگ-کوتا با دقت مرتبه چهارم استفاده شده است. صحبت سنجری کد حل عددی مستقیم با نتایج مرجع انجام شده و نشان دهنده دقت قابل قبول داده های حاصل از آن می باشد [۲۰].

۴- تجزیه مودهای دینامیکی و الگوریتم پردازش داده ها

روش تجزیه مودهای دینامیکی در سال ۲۰۰۸ توسط اشمید پیشنهاد شد. این روش قادر تمند که مبتنی بر داده می باشد، به عنوان روشی برای تعیین ساختارهای اصلی و سازنده مانند میدان جریان سیال معرفی شده است. مدت کوتاهی پس از معرفی این روش، رولی و همکاران [۱۰] به عنوان یک تکنیک عددی برای تخمین عملگر کوپمن و ایجاد یک اتصال قوی به تحلیل سیستم های دینامیکی غیرخطی پرداختند. برخلاف دیگر تکنیک های کاهش ابعاد، مانند تجزیه متعامد بهینه، این روش برای استخراج مودهای متجانس از نظر مکانی، نوسان در فرکانس ثابت و رشد یا واپاشی در نرخ ثابت طراحی شده است؛ بنابراین، تجزیه مود دینامیکی مجموعه ای از حالت ها را همراه با یک مدل تکامل خطی ارائه می دهد. از زمانی که روش تجزیه مود دینامیکی معرفی شد به طور گسترده ای در زمینه های مختلف از جمله اپیدمیولوژی، علوم اعصاب، رباتیک و پردازش تصویر مورداستفاده قرار گرفته است. در واقع، این روش قادر به بررسی و تجزیه و تحلیل ساختار سیستم های پیچیده و غیرخطی بوده و امکان شناسایی نواحی از میدان با رفتارهای دینامیکی مختلف را دارد. این روش با تجزیه سیستم های پیچیده به یک سری از مودها که هریک دارای

نفوذ در میدان مسئله را پیش بینی کردند. مؤیدی و همکاران [۱۹] با استفاده از روش رتبه کاسته اصلاح شده مبتنی بر تجزیه متعامد بهینه، جریان های ناپایای تراکم ناپذیر را شبیه سازی کردند. با استفاده از مدل پیشنهادی آن ها، می توان با دقیقی مناسب و سرعتی بالا تغییرات زمانی میدان جریان را پیش بینی کرد.

در این مقاله، به بررسی دو مسئله به صورت مستقل از یکدیگر پرداخته خواهد شد. در مسئله اول معادله برگرز لرج با استفاده از شبیه سازی عددی حل شده و در مسئله دوم، حل آن با استفاده مدل رتبه کاسته مبتنی بر تجزیه مود دینامیکی انجام شده است. ویژگی اصلی این مقاله، توسعه مدل رتبه کاسته با بهره گیری از اعمال ترم استهلاک مشابه با مفهوم لزجت گردابه ای در جریان های آشفته، به منظور اصلاح عملکرد مدل می باشد؛ همچنین بررسی تأثیر این رویکرد در پیش بینی دینامیک مسئله موردنظر برای بازه زمانی خارج از محدوده نمایه های ^۱ به کار رفته به منظور آموزش مدل، نیز ارزیابی شده است. تفاوت این پژوهش با سایر کارهای پیشیم مطالعه اثر اصلاح اعمال شده روی مدل رتبه کاسته مبتنی بر داده و فیزیک، برای پیش بینی رفتار مسئله در بازه زمانی بلند می باشد. نتایج نشان دهنده دقت و سرعت بالای الگوی رتبه کاسته برای مدل سازی معادلات نفوذ- جابجایی می باشد.

۲- معادلات حاکم

معادله برگرز یک معادله دیفرانسیل جزئی بوده که با حذف عبارت فشار در معادله ناویر- استوکس برای اجتناب از پیچیدگی های ناشی از کوپلینگ میدان سرعت و فشار به دست می آید. این معادله در حالت بدون بعد به صورت رابطه (۱) خواهد بود:

$$\frac{\partial u}{\partial t} + u \cdot \nabla u = \frac{1}{Re} \nabla^2 u \quad (1)$$

۳- شبیه سازی عددی مستقیم

برای به دست آوردن نمایه ها از داده های حاصل از حل عددی مستقیم معادله برگرز لرج استفاده شده است. بدین

^۱ Snapshots

با فرض اینکه داده‌های ورودی از شبیه‌سازی عددی مستقیم حاصل شده باشند باید ماتریس A برای تکامل معادلات به دست آید. حال با استفاده از نگاشت خطی، بین ماتریس داده‌های لحظه‌ای اول، V_1^{N-1} و مجموعه دوم V_2^N رابطه زیر برقرار خواهد شد:

$$V_2^N = A V_1^{N-1} \quad (7)$$

ماتریس N -گاشت A ، ماتریسی فرضی است که شامل اطلاعات تکامل تدریجی سیستم است و در طول زمان ثابت می‌باشد. برای برقراری رابطه (7)، باید عبارت به ماتریس A ، متکی باشد. اگر ماتریس غیرمربعی V_1^{N-1} با استفاده از روش تجزیه مقادیر تکین، تجزیه شود، رابطه زیر به دست خواهد آمد:

$$V_1^{N-1} = U \Sigma W^T \quad (8)$$

در نتیجه:

$$V_2^N = A U \Sigma W^T \quad (9)$$

با ضرب U^T و $W^{\Sigma T}$ در طرفین رابطه (9)، رابطه زیر به دست می‌آید:

$$S = U^T A U \Sigma W^T W \Sigma^{-1} = U^T V_2^N W \Sigma^{-1} \quad (10)$$

گفتنی است ماتریس شبه معکوس ماتریس Σ به صورت Σ^{-1} نمایش داده شده است. به دلیل آن که ماتریس $\Sigma \Sigma^{-1}$ برخلاف $W^T W$ ، غیرمربعی است پس دارای مقادیر صفر و یک می‌باشد. مقادیر ویژه ماتریس A و S با هم برابر بوده و از رابطه زیر به دست می‌آید:

$$S y_i = \mu_i y_i \quad i = 1, \dots, M \quad (11)$$

در این رابطه y_i ، بیانگر بردار ویژه و μ_i مقادیر ویژه ماتریس S هستند؛ بنابراین مودهای مکانی به دست آمده از روش تجزیه مود دینامیکی به صورت زیر محاسبه می‌شوند:

$$\phi_i = U y_i \quad (12)$$

$$A \phi_i = \mu_i \phi_i$$

مودهای دینامیکی (وابسته به زمان) با نگاشت لگاریتمی مقادیر ویژه طبق رابطه زیر به دست خواهند آمد:

$$\lambda_i = \frac{\ln(\mu_i)}{dt} \quad (13)$$

جنبه متفاوتی از رفتار دینامیکی سیستم هستند، عمل می‌کند؛ اما نکته حائز اهمیت آنچاست که تجزیه سیستم به یک سری از مودهای، باعث شناسایی مودهای اصلی که تشکیل دهنده رفتار دینامیکی سیستم هستند، خواهد شد. حال این امکان فراهم می‌آید تا با انتخاب این مودهای جداسازی آن‌ها از دیگر مودهای کم‌اهمیت هستند، سیستم اصلی به صورت دقیق بازسازی شود. همچنین با استفاده از این مودهای دینامیکی می‌توان رفتار سیستم در آینده را نیز پیش‌بینی کرد. یکی از مزیت‌های استفاده از این روش نسبت به سایر روش‌ها این است که در برخی از مسائل، نیازی به دانش درباره معادله حاکم بر سیستم ندارد. تجزیه مود دینامیکی ممکن است به عنوان شکلی از شناسایی سیستم در نظر گرفته شود که منجر به کاهش مرتبه‌ای مدل‌ها شود. روش تجزیه مود دینامیکی یک سری تفاوت و شباهت با روش تجزیه متعامد بهینه دارد. شباهت این دو روش در این است که با توجه به یک سری بردار ویژه و مقادیر ویژه عمل می‌کنند. اختلافی که این دو روش با هم دارند در این است که در روش تجزیه متعامد بهینه بردارهای ویژه حاصل (مودهای از لحاظ سطح انرژی طبقه بندی می‌شوند). در روش تجزیه مود دینامیکی مجموعه‌ای از مودهای محاسبه می‌شود که هر کدام به یک فرکانس نوسان ثابت و نرخ رشد یا اتلاف در سیستم دینامیکی موردنظر مرتبط هستند. در این روش مودهای دارای وزن مشخصی بوده و وزن آن‌ها تابعی از مقادیر ویژه هستند. برای استفاده از روش تجزیه مود دینامیکی، به دنبالهای از داده‌ها که به صورت مجموعه‌ای از نمایه‌ها یا تصاویر لحظه‌ای از میدان مرتبت می‌شوند، نیاز است. هر نمایه شامل یک شبکه محاسباتی دارای گره بوده که در قالب بردار مرتبت خواهد شد. حال اگر به تعداد نمایه ثبت شود، سیستم مورد مطالعه به صورت ماتریسی با سطر و ستون مرتبت خواهد شد:

$$V_1^N = [v_1, v_2, v_3, \dots, v_N] \quad (4)$$

در رابطه فوق، v بردار بیانگر میدان جریان در لحظه t است. سپس در ماتریس‌های V_1^{N-1} و V_2^N به ترتیب آخرین نمایه و اولین نمایه حذف می‌شوند:

$$V_1^{N-1} = [v_1, v_2, v_3, \dots, v_{N-1}] \quad (5)$$

$$V_2^N = [v_2, v_3, v_4, \dots, v_N] \quad (6)$$

$$\begin{aligned} \phi_i(x) \times \sum_{i=1}^N \frac{d}{dt}(a^i(t)) - \\ \bar{u} \times \sum_{i=1}^N a^i(t) \times \nabla \phi_i(x) - \\ \bar{u} \times \nabla \bar{u} - \sum_{i=1}^N a^i(t) \times (\bar{u}, \nabla \phi_i(x)) - \\ \sum_{i=j=1}^N a^i(t) \times a^j(t) \times (\phi_i(x), \nabla \phi_j(x)) = \end{aligned} \quad (18)$$

$$\frac{1}{Re} (\nabla^2 \bar{u} + \sum_{i=1}^N a^i(t) \times \nabla^2 \phi_i(x))$$

اگر طرفین رابطه فوق در مزدوج ترانهاده مودهای دینامیکی ضرب شوند، رابطه زیر به دست خواهد آمد:

$$\begin{aligned} (\phi_k^H(x), \phi_i(x)) \times \sum_{i=1}^N \frac{d}{dt}(a^i(t)) - \\ (\phi_k^H(x), \bar{u} \cdot \nabla \phi_i(x) + \phi_i(x) \cdot \nabla \bar{u}) \times a^i(t) - \\ (\phi_k^H(x), \bar{u} \cdot \nabla \bar{u}) - \\ (\phi_k^H(x), \phi_i(x) \cdot \nabla \phi_j(x)) \times a^i(t) \times a^j(t) \\ = \frac{1}{Re} (\phi_k^H(x), \nabla^2 \bar{u}) + \\ \frac{1}{Re} (\phi_k^H(x), \nabla^2 \phi_i(x)) \times a^i(t) \end{aligned} \quad (19)$$

در رابطه فوق ϕ_k^H مزدوج ترانهاده مودهای دینامیکی است. در روش تجزیه متعامد بهینه، مودها نسبت به یکدیگر دارای تعامد هستند و با استفاده از روش تجزیه مقدار تکین، درنهایت ضریب بخش گذرا با رابطه دلتای کرونکر ساده‌سازی می‌شود؛ اما در روش تجزیه مود دینامیکی، همان‌طور که پیشتر گفته شد، مودها دارای تعامد نیستند، پس یک پایه الحاقی شبه متعامد لازم است تا در طرفین رابطه (۱۹) به صورت ماتریسی ضرب شود. این پایه الحاقی به صورت رابطه (۲۰) می‌باشد:

$$\phi^{ad} = ((\phi_k^H(\vec{x}), \phi_i(\vec{x}))^{-1} \quad (20)$$

از آنجایی که ضرایب معادله نسبت به زمان ثابت فرض شده است، پس می‌توان به رابطه (۲۱) دست یافت:

$$\frac{da^k}{dt} = \tilde{A}_{kij} \times a^i \times a^j + \tilde{B}_{ki} \times a^i(t) + \tilde{C}_k \quad (21)$$

به طوری که:

با استفاده از محاسبه ضرایب زمانی و مودهای مکانی، یک بسط خطی تقریب زده می‌شود. این عمل با تصویرسازی هر یک از مودهای در اولین نمایه طبق رابطه زیر انجام می‌شود:

$$a_i = \phi_{ij}^t v_{1_j} \quad (14)$$

در رابطه فوق، ϕ^t شبکه معکوس ماتریس مودهای دینامیکی است. به منظور بازسازی هر یک از نمایه‌های اولیه از رابطه زیر استفاده می‌شود:

$$V_k = \sum_i^M a_i \phi_i \mu_i^{k-1} \quad (15)$$

در رابطه فوق، k شمارنده زمانی، μ_i مقدار ویژه و V_k نمایه ثبت شده در زمان است. در روش استفاده شده در این مقاله، برخلاف روش تجزیه متعامد بهینه، مودهای حاصل از ماتریس نمایه‌ها که برای توسعه مدل‌های رتبه کاسته بکار می‌روند، از نمودار آپشار انرژی پیروی نمی‌کنند. مودهای روش تجزیه مود دینامیکی دارای خاصیت تعامد نبوده و دارای ویژگی مستقل خطی نیز نیستند.

۵- مدل رتبه کاسته حاصل از روش تجزیه مود دینامیکی

به منظور توسعه مدل رتبه کاسته، کمیت حاکم بر دینامیک مسئله به صورت یک حاصل جمع از بخش متوسط‌گیری شده زمانی و بخش اغتشاشی نوشته می‌شود:

$$u(x, t) = \bar{u}(x) + u'(x, t) \quad (16)$$

بخش اغتشاشی را می‌توان بر اساس تقریب گالرکین به صورت رابطه (۱۷) نوشت:

$$u'(x, t) = \sum_{i=1}^N a^i(t) \phi_i(x) \quad (17)$$

در این رابطه، ϕ_i پایه‌های دلخواه (مانند مودهای دینامیکی مکانی) و a^i ضرایب زمانی هستند. این مقادیر باید طوری انتخاب شوند که معادله دیفرانسیل را با تقریب خوبی ارضا کنند. با جایگذاری روابط مربوط به بخش متوسط و اغتشاشی میدان لحظه‌ای در رابطه (۱۷)، معادله زیر به دست می‌آید:

حذف شده در فرآیند کاهش مرتبه بکار رفته و مشابه رویکرد شبیه‌سازی جریان‌های آشفته برای مدل‌سازی ساختارهای متجانسی که سطح انرژی پایین‌تری دارند، استفاده شود. ضریب موردنظر برای پایدارسازی مدل رتبه‌کاسته به ازای مقادیر متفاوت عدد رینولدز متغیر بوده اما به‌طورکلی در این مقاله مقدار آن ثابت فرض شده است. این ترم مشابه عبارت نفوذ در معادله اصلی بوده و پس از اعمال تجزیه رینولدز و بسط گالرکین و سپس تصویرسازی در فضای مودال به‌صورت روابط زیر برای بخش متوسط و اغتشاشی نمایه‌ها تبدیل خواهد شد:

$$\begin{aligned} B_k^2 &= \langle \nu_e \nabla^2 \bar{u}, \phi_k \rangle \\ B_{ki}^1 &= \langle \nu_e \nabla^2 \phi_i; \phi_k \rangle \end{aligned} \quad (۲۲)$$

در روابط فوق، ν_e ضریب لزجت گردابه‌ای می‌باشد. همان‌طور که در صورت عبارات مشخص است یکی از آن‌ها در عبارت ثابت مدل رتبه‌کاسته لحظه شده و دیگری در ترم خطی مدل بکار می‌رود. هدف اصلی این الگو ارائه یک طرح پایدار با حفظ دقت مناسب است که بر این اساس یک لزجت مصنوعی را در بالاترین فرکانس‌ها اضافه می‌کند؛ بنابراین، طبق این روش مقدار انرژی لازم برای پایداری سیستم تأمین شده و مقادیر به دست آمده از مدل‌سازی در اعداد رینولدز بالا پاسخ مناسبی خواهد داشت. با بکار بردن عبارت‌های موجود در معادله (۲۲)، مدل رتبه‌کاسته اصلاح شده، مطابق معادله (۲۱) به‌صورت زیر تبدیل خواهد شد:

$$\begin{aligned} \frac{da^k}{dt} &= \tilde{A}_{kij} \times a^i \times a^j + \hat{B}_{ki} \times a^i(t) + \hat{C}_k \\ \hat{B}_{ki} &= \tilde{B}_{ki} + B_{ki}^1 \\ \hat{C}_k &= \tilde{C}_k + B_k^2 \end{aligned} \quad (۲۳)$$

۷- نتایج و بحث

در این بخش به ارائه نتایج حاصل از حل عددی مستقیم و مدل‌سازی رتبه‌کاسته مبتنی بر تجزیه مود دینامیکی پرداخته شده است. در ابتدا معادله برگزز لزج با استفاده از شبیه‌سازی عددی مستقیم حل شده و سپس با استفاده از مدل رتبه‌کاسته، الگویی جایگزین برای معادله حاکم بر مسئله ایجاد شده است. شبیه‌سازی عددی مستقیم معادله

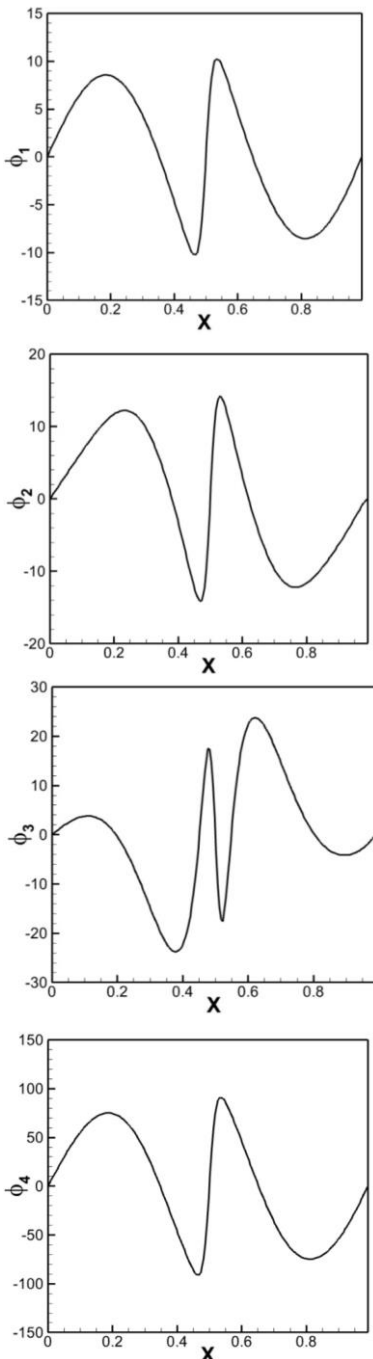
$$\begin{aligned} \tilde{A}_{kij} &= \phi^{ad} \times A_{kij} & \tilde{B}_{ki} &= \phi^{ad} \times B_{ki} \\ \tilde{C}_k &= \phi^{ad} \times C_k \end{aligned}$$

مدل حاصل به‌صورت معادله یک سیستم دینامیکی است و برای محاسبه ضرایب مودال در گام‌های زمانی مختلف مورداستفاده قرار می‌گیرد. در صورتی که ضرایب مودال یا همان مودهای زمانی مدل دینامیکی حاصل از تصویرسازی در فضای برداری مودها محاسبه شود، می‌توان رابطه گسسته‌سازی شده‌ای برای سیستم دینامیکی پیش‌بینی کرد.

۶- پایدارسازی مدل رتبه‌کاسته با بهره‌گیری از روش لزجت گردابه‌ای مصنوعی

مدل رتبه‌کاسته باید علاوه بر داشتن پاسخ نزدیک به پاسخ سیستم اصلی، سه شرط را نیز باید داشته باشد: اول اینکه خطای تقریب کوچک بوده و خطای کلی محدود باشد. شرط دوم اینکه سیستم رتبه‌کاسته خواص پایداری و انتقال‌پذیری سیستم اصلی را حفظ کند و در نهایت، از نظر محاسباتی سریع و مقرر به‌صرفه است. از روش تجزیه مقادیر تکین و روش‌های کرایلوف برای کاهش مرتبه یک سیستم می‌توان استفاده کرد. روش‌های بر پایه تجزیه مقادیر تکین محدود بودن خطای پایداری و انتقال‌پذیری را دارند ولی به لحظه محاسباتی مقرر به‌صرفه نیستند. روش‌های کرایلوف در مقایسه با روش‌های بر پایه تجزیه مقادیر تکین به لحظه محاسباتی مقرر به‌صرفه بوده اما از دقت بالایی برخوردار نمی‌باشند. مدل موردمطالعه در مقاله حاضر، در صورتی که سیستم در حالت‌های اولیه و با مقادیر عدد رینولدز پایین قرار داشته باشد، نتایج به دست آمده از شبیه‌سازی عددی مستقیم و مدل‌سازی رتبه‌کاسته بر هم منطبق بوده و نتایج به درستی به دست می‌آیند؛ اما با افزایش عدد رینولدز، اثر ترم لزج موجود در معادله کاهش می‌باید؛ بنابراین استهلاک سیستم دینامیکی رتبه‌کاسته کم شده و ممکن است در پیش‌بینی دینامیک مسئله موردنظر دچار ناپایداری شود. در این مقاله به‌منظور اصلاح این ناپایداری و جبران استهلاک از دست رفته برای رسیدن مجدد سیستم به پایداری، یک ترم لزجت گردابه‌ای مصنوعی به معادله سیستم دینامیکی افزوده می‌شود. همچنین این عبارت می‌تواند به عنوان جایگزین اثر مودهای

همان‌طور که در شکل مشخص است دقت داده‌های حاصل از مدل رتبه کاسته در مقایسه با حل عددی مستقیم در زمان‌های مختلف قابل قبول می‌باشد.



شکل (۱). توزیع مودهای دینامیکی حاصل از نمایه‌های حل معادله برگز در عدد رینولذ ۱۰۰

۷-۲- انتگرال گیری از مدل رتبه کاسته برای بازه زمانی بلند

حال انتظار می‌رود به منظور توسعه مدلی برای پیش‌بینی رفتار دینامیکی مسئله موردنظر، الگوی حاصل بتواند

برگز به ازای اعداد رینولذ ۱۰۰، ۱۰۰۰، ۲۰۰۰ و ۵۰۰۰ انجام شده و برای این مدل سازی از شرایط اولیه به صورت:

$$u(x, 0) = \sin(2\pi x) \quad (24)$$

و شرایط مرزی به شرح زیر بهره برده شده است:

$$u(0, t) = u(1, t) = 0 \quad (25)$$

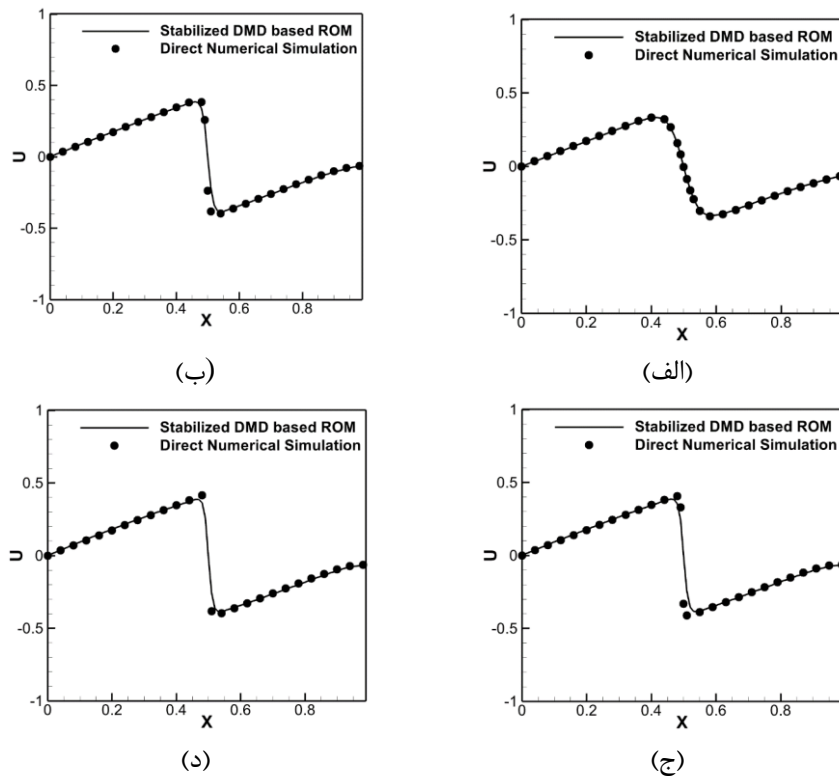
ماتریس نمایه‌ها با استفاده از داده‌های حاصل از حل عددی دقیق معادله، ایجاد شده و شامل یک دسته نمایه مشتمل بر ۱۰۰ عضو می‌باشد. سپس با استفاده از روش تشریح شده در بخش ۳، مودهای دینامیکی محاسبه شده‌اند. شکل (۱) توزیع چهار مود دینامیکی به ازای عدد رینولذ ۱۰۰ را نمایش می‌دهد. مدل رتبه کاسته توسعه یافته در این پژوهش برای تمامی اعداد رینولذ مورد بحث با استفاده از ۱۰ مود ایجاد شده که در شکل ۱، چهار مود اول در عدد رینولذ ۱۰۰ آورده شده است. لازم به ذکر است مودهای حاصل از روش تجزیه مود دینامیکی نسبت به یکدیگر برتری سطح انرژی ندارند در نتیجه می‌توان حتی با استفاده از این ۴ مود نیز میدان موردنظر را بازسازی کرد.

۷-۱- انتگرال گیری از مدل رتبه کاسته برای بازه زمانی کوتاه

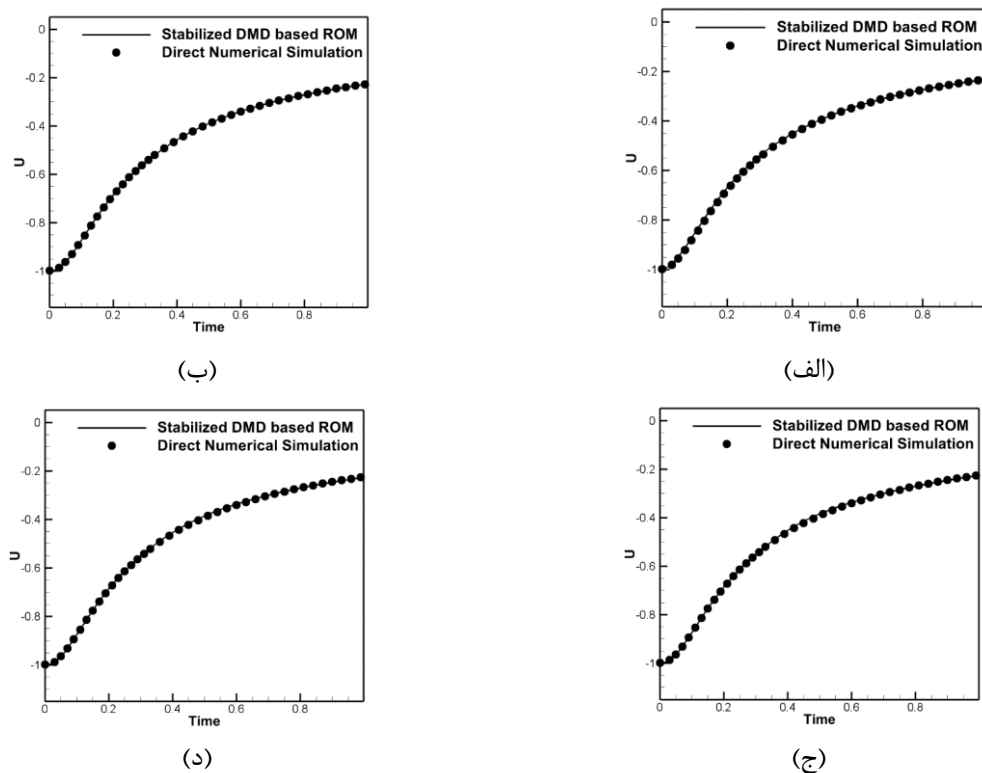
در این بخش نتایج حاصل از مدل رتبه کاسته برای شرایطی که داده‌های لازم برای آموزش مدل به صورت کامل (تمام آرایه‌های ماتریس نمایه‌ها) بکار می‌روند، ارائه خواهد شد. در این شرایط مدل رتبه کاسته با استفاده از ۱۰۰ نمایه و برای بازه‌ای معادل یک واحد زمانی آموزش داده می‌شود. برای این حالت مدل رتبه کاسته با بهره‌گیری از ۱۰ مود بازسازی شده و انتگرال گیری برای ۱۰۰ گام زمانی با اندازه ۱/۰۰۰ انجام گرفته است. شکل ۲ مقایسه پاسخ معادله برگز در زمان $t=1s$ حاصل از مدل رتبه کاسته اصلاح شده و شبیه‌سازی عددی مستقیم به ازای اعداد رینولذ ۱۰۰، ۱۰۰۰، ۲۰۰۰ و ۵۰۰۰ را نشان می‌دهد. به منظور بررسی رفتار مدل در گام‌های زمانی مختلف، تغییرات پاسخ مدل رتبه کاسته معادله برگز در یک نقطه مکانی مشخص ($x=0.75$) با داده‌های حاصل از حل عددی دقیق مقایسه شده که نتایج آن در شکل ۳ نشان داده شده است.

مسئله را پیش‌بینی کند. در شکل ۶ مقایسه‌ای بین داده‌های حاصل از مدل رتبه کاسته اصلاح شده و داده‌های حل دقیق در حالتی که دسته نمایه مورداستفاده تنها ۲۷ نمایه از ۱۰۰ نمایه اصلی را دارد، انجام شده است. این مقایسه برای آخرین گام زمانی در دسته نمایه اصلی معادل با زمان ($t=1s$)، صورت گرفته و به خوبی دقیق مدل رتبه کاسته اصلاح شده به ازای اعداد رینولدز مختلف، ۱۰۰۰، ۱۰۰، ۲۰۰۰، ۵۰۰۰ در قیاس با داده‌های حل دقیق را نمایش می‌دهد. روشن است در این شرایط مدل رتبه کاسته برای انتگرال گیری زمانی در بازه بلند بکار گرفته شده است. در شکل ۷ نیز مقایسه‌ای بین داده‌های حاصل از مدل رتبه کاسته اصلاح شده و شبیه‌سازی عددی مستقیم در بازه زمانی بلند، برای چهار عدد رینولدز مختلف انجام گرفته است. در این مدل ۳۵ نمایه برای آموزش مدل رتبه کاسته استفاده شده است. در این شرایط نیز مقایسه در آخرین گام زمانی (مربوط به دسته نمایه اصلی) انجام گرفته و مشخص است که دقیق مدل در پیش‌بینی داده‌های میدان موردنظر خارج از بازه زمانی که برای آموزش مدل بکار رفته، قابل قبول می‌باشد. همچنین تغییرات زمانی پاسخ معادله برگز در نقطه $x=0/75$ حاصل از حل دقیق و مدل سازی رتبه کاسته اصلاح شده، در شرایطی که دسته نمایه‌ای با ۲۷ عضو برای آموزش مدل بکار رفته و به ازای اعداد رینولدز مختلف در شکل ۸، مقایسه شده‌اند. در شکل ۹، برای نقطه‌ای در موقعیت مشابه شکل ۸، نتایج حاصل از حل دقیق و مدل رتبه کاسته اصلاح شده‌ای که با استفاده از دسته نمایه‌ای با ۳۵ عضو آموزش داده شده و برای اعداد ۱۰۰، ۱۰۰۰، ۲۰۰۰ و ۵۰۰۰ مقایسه شده‌اند. نتایج نمایش داده شده در شکل‌های ۸ و ۹ نیز مشابه نتایج دیگر، به خوبی دقیق مدل رتبه کاسته اصلاح شده در پیش‌بینی رفتار دینامیکی مسئله موردنظر و در بازه‌های زمانی بیش از محدوده‌ای که برای آموزش مدل رتبه کاسته بکار رفته است را اثبات می‌کند.

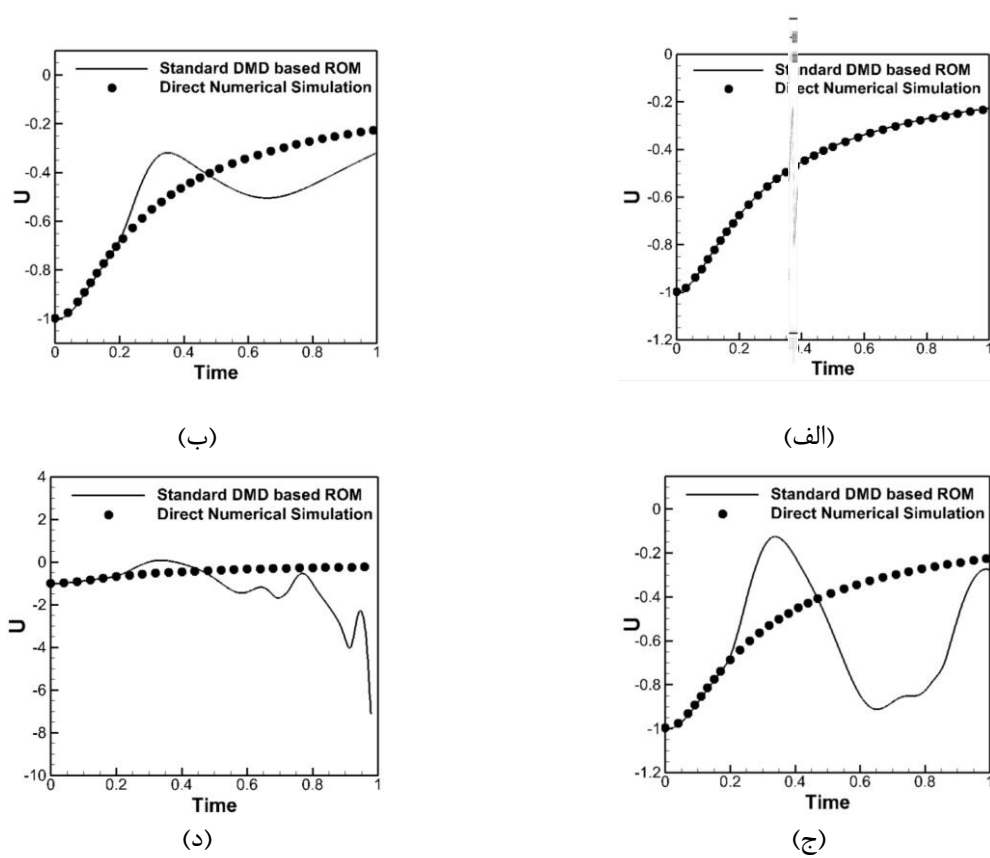
به عنوان جایگزینی برای معادله حاکم اصلی در بازه‌های زمانی متفاوت و به ازای تغییرات پارامتر مهمی چون عدد رینولدز به کار رود. بدین منظور از دسته نمایه اصلی در دو حالت و به ازای ۲۷ و ۳۵ عضو، دسته نمایه‌های جدیدی ایجاد شده است. از این دسته نمایه‌های جدید به منظور آموزش مدل رتبه کاسته چه در فرم استاندارد و چه اصلاح شده استفاده شده است. بدین ترتیب در حالت اول ۷۳ درصد زمان کل (۱ ثانیه) و در حالت دوم ۶۵ درصد زمان کل به منظور آزمایش دقیق مدل رتبه کاسته بکار خواهد رفت. روشن است این بازه‌های زمانی در فرآیند آموزش مدل لحاظ نشده و به خوبی می‌تواند دقیق مدل رتبه کاسته در پیش‌بینی داده‌های میدان موردنظر را نشان دهد. در ابتدا به ارائه نتایج مدل رتبه کاسته استاندارد به منظور بررسی عملکرد آن در پیش‌بینی دینامیک مسئله موردنظر پرداخته خواهد شد. بدین منظور تغییرات زمانی پاسخ معادله برگرز در نقطه $x=0/75$ حاصل از حل دقیق و مدل رتبه کاسته استاندارد (اصلاح نشده)، در شرایطی که دسته نمایه‌ای با ۲۷ عضو برای آموزش مدل بکار رفته و به ازای اعداد رینولدز مختلف در شکل ۴ مقایسه شده‌اند. همان‌طور که در نتایج نمایش داده شده دیده می‌شود دقیق مدل رتبه کاسته در مقایسه با داده‌های حل عددی مستقیم به ازای اعداد رینولدز بالاتر کاهش یافته و به خوبی دینامیک حاکم بر مسئله را پیش‌بینی نکرده است. این موضوع با پیش‌روی در زمان تشدید شده و مدل در اعداد رینولدز ۱۰۰۰، ۲۰۰۰ و ۵۰۰۰ در زمان‌های خارج از بازه زمانی آموزش مدل رتبه کاسته، داده‌هایی بسیار متفاوت از مقادیر حاصل از حل عددی دقیق را نتیجه می‌دهد. در شکل ۵، برای نقطه‌ای در موقعیت مشابه شکل ۴، نتایج حاصل از حل دقیق و مدل رتبه کاسته استاندارد (اصلاح نشده) که با استفاده از دسته نمایه‌ای با ۳۵ عضو آموزش داده شده، برای اعداد ۱۰۰، ۱۰۰۰، ۲۰۰۰ و ۵۰۰۰ مقایسه شده‌اند. همان‌طور که در نتایج نمایش داده شده دیده می‌شود در این شرایط نیز دقیق مدل رتبه کاسته در مقایسه با داده‌های حل عددی مستقیم به ازای اعداد رینولدز بالاتر و گام‌های زمانی بیشتر کاهش یافته و نتوانسته به خوبی دینامیک حاکم بر



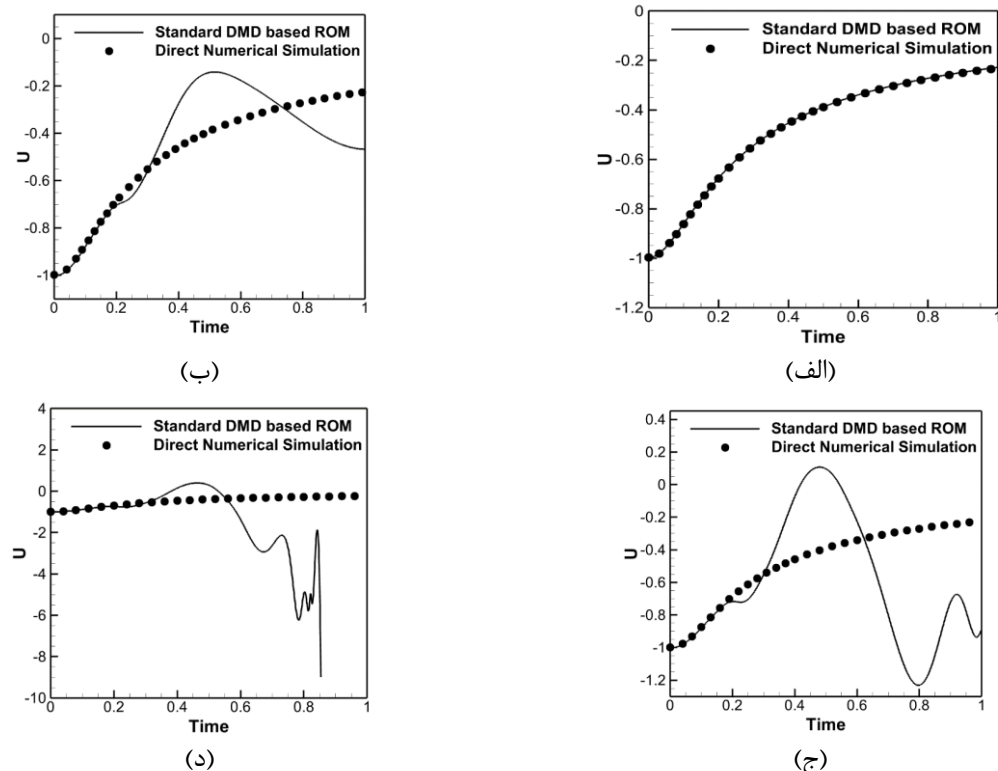
شکل (۲). مقایسه پاسخ معادله برگز در $t=1\text{s}$ حاصل از شبیه‌سازی عددی مستقیم و مدل رتبه کاسته اصلاح شده، (مدل به ازای تمام بازه زمانی آموزش داده شده) برای اعداد رینولدز (الف)، (ب)، (ج)، (د) و (۵۰۰۰)



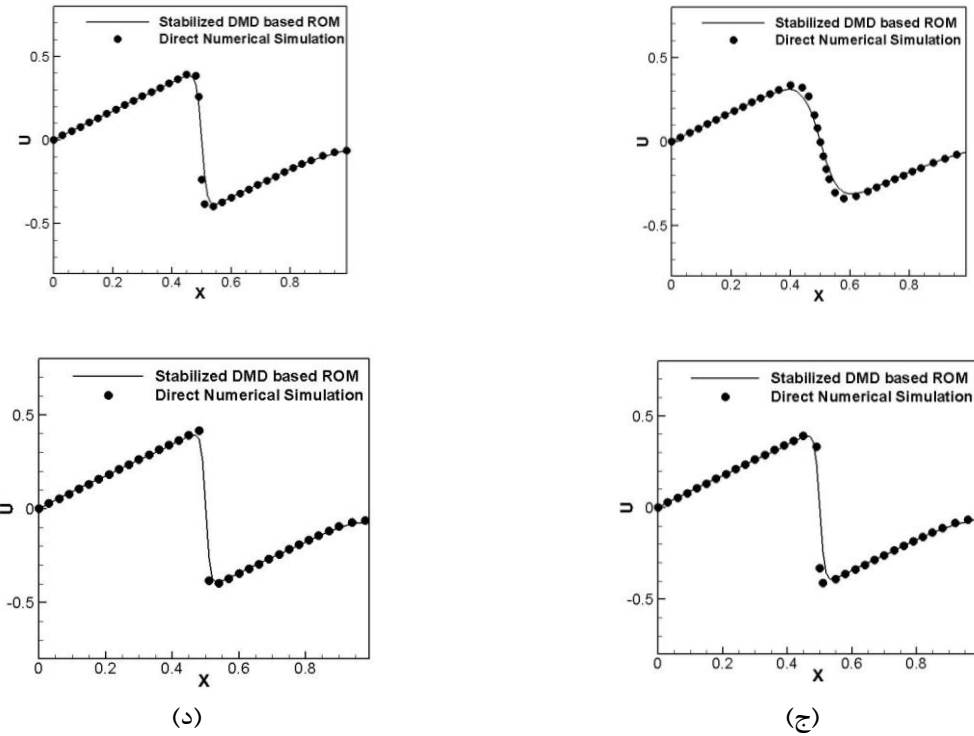
شکل (۳). مقایسه پاسخ معادله برگز در نقطه $x=0.75$ ، حاصل از شبیه‌سازی عددی مستقیم و مدل رتبه کاسته اصلاح شده، در اعداد رینولدز (الف)، (ب)، (ج)، (د) و (۵۰۰۰)



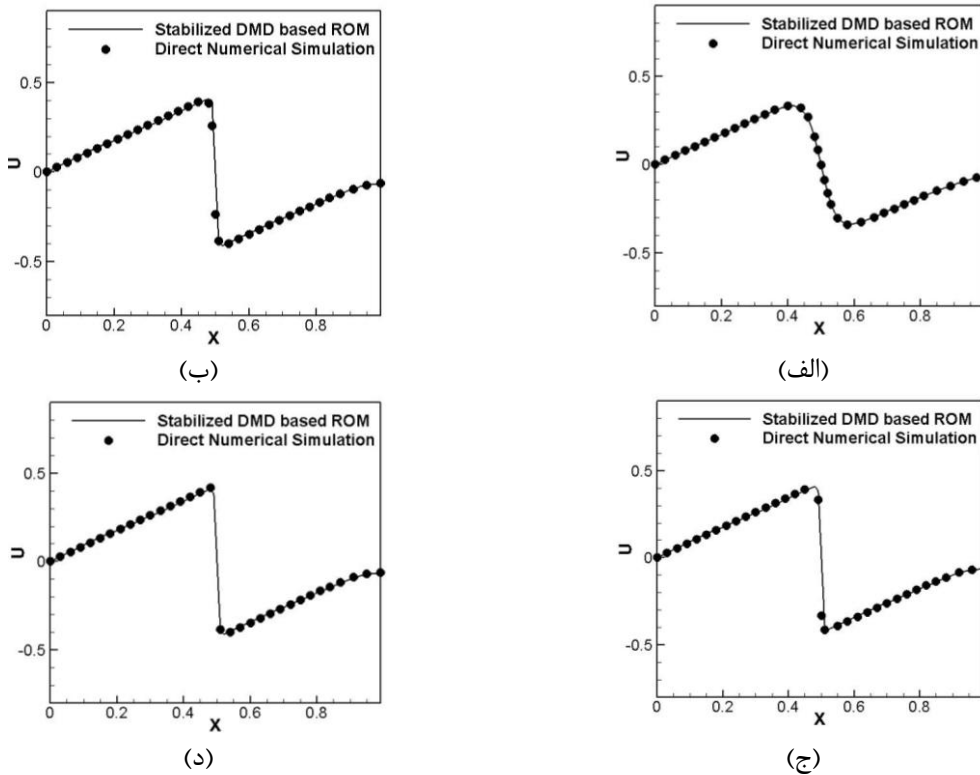
شکل (۴). مقایسه پاسخ معادله برگز در نقطه $X=0.75$ حاصل از شبیه‌سازی عددی مستقیم و مدل رتبه کاسته استاندارد (اصلاح نشده)، (مدل به ازای ۳۵٪ بازه زمانی آموزش داده شده) به ازای اعداد رینولز (الف) ۱۰۰، (ب) ۱۰۰۰، (ج) ۱۰۰۰۰، (د) ۵۰۰۰ و (ه) ۵۰۰۰۰.



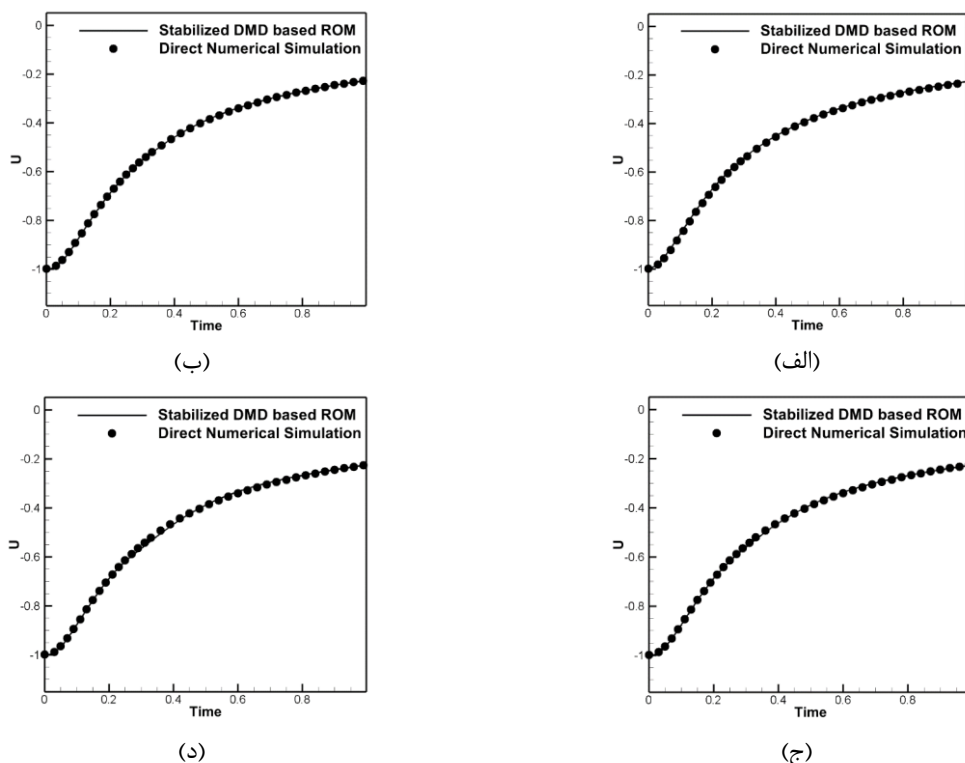
شکل (۵). مقایسه پاسخ معادله برگز در نقطه $X=0.75$ حاصل از شبیه‌سازی عددی مستقیم و مدل رتبه کاسته استاندارد (اصلاح نشده)، (مدل به ازای ۳۵٪ بازه زمانی آموزش داده شده)، به ازای اعداد رینولز (الف) ۱۰۰، (ب) ۱۰۰۰، (ج) ۱۰۰۰۰ و (د) ۵۰۰۰۰.



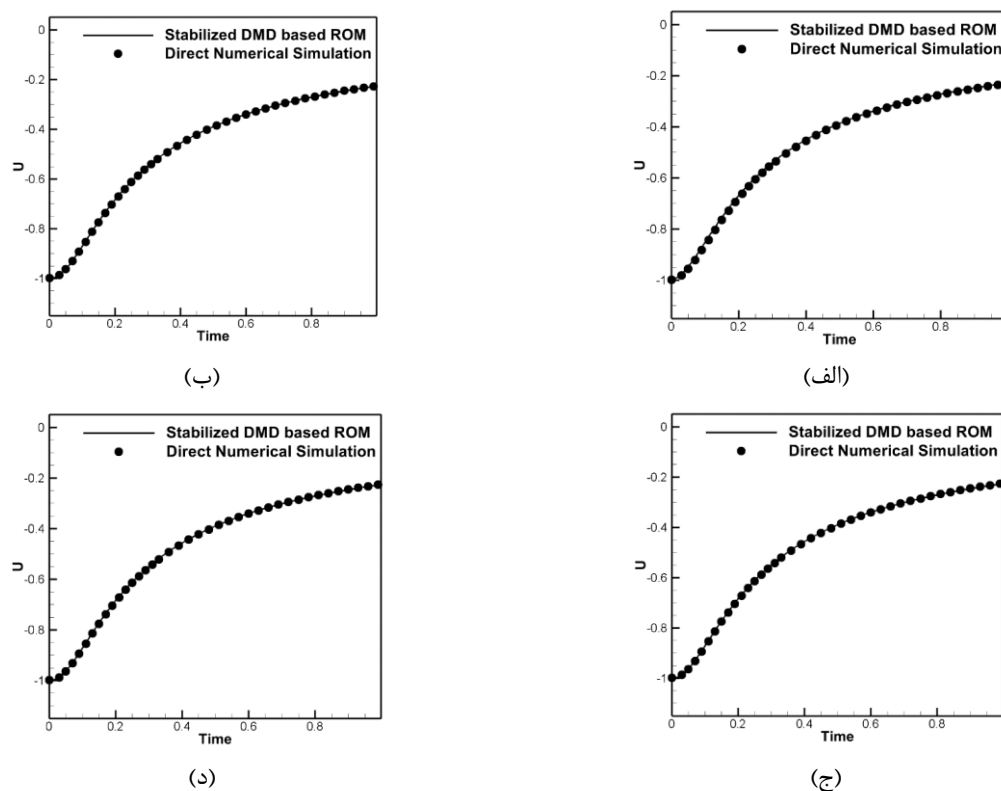
شکل (۶). مقایسه پاسخ معادله برگرز در $t = 1s$ ، حاصل از شبیه‌سازی عددی مستقیم و مدل رتبه کاسته اصلاح شده، (مدل به ازای ۲۷٪ کل بازه زمانی آموزش داده شده) به ازای اعداد رینولدز (الف) ۱۰۰، (ب) ۲۰۰۰، (ج) ۵۰۰۰



شکل (۷). مقایسه پاسخ معادله برگرز در $t = 1s$ ، حاصل از شبیه‌سازی عددی مستقیم و مدل رتبه کاسته اصلاح شده، (مدل به ازای ۳۵٪ بازه زمانی آموزش داده شده) به ازای اعداد رینولدز (الف) ۱۰۰، (ب) ۲۰۰۰، (ج) ۵۰۰۰ و (د)



شکل (۸). مقایسه پاسخ معادله برگرز در نقطه $X=0/75$ حاصل از شبیه‌سازی عددی مستقیم و مدل رتبه‌کاسته اصلاح شده، (مدل به ازای ۲۷٪ بازه زمانی آموزش داده شده)، به ازای اعداد رینولدز (الف) ۱۰۰۰، (ب) ۲۰۰۰، (ج) ۵۰۰۰ و (د) ۱۰۰۰۰



شکل (۹). مقایسه پاسخ معادله برگرز در نقطه $X=0/75$ حاصل از شبیه‌سازی عددی مستقیم و مدل رتبه‌کاسته اصلاح شده، (مدل به ازای ۳۵٪ بازه زمانی آموزش داده شده)، به ازای اعداد رینولدز (الف) ۱۰۰۰، (ب) ۲۰۰۰، (ج) ۵۰۰۰ و (د) ۱۰۰۰۰

- 58-78, 2016.
4. Esfahanian, V., Ansari, A. B., and Torabi, F. "Simulation of Lead-Acid Battery Using Model Order Reduction," *J. Power. Sources.* Vol. 279, pp. 246-305, 2015.
 5. Abreu, L. I., Cavalieri, A. V. G., Schlatter, P., Vinuesa, R., and Henningson, D. S. "Spectral Proper Orthogonal Decomposition and Resolvent Analysis of Near-Wall Coherent Structures in Turbulent Pipe Flows," *J. Fluid. Mech.* Vol. 900, A. 11, 2020.
 6. Moayyedi, M.K., and Sabaghzadegan, F. "Development of Parametric and Time Dependent Reduced Order Model for Diffusion and Convection-Diffusion Problems Based on Proper Orthogonal Decomposition Method," *Amirkabir J. Mech. Eng.* Vol. 53, No. 7, pp. 8-18, 2021. (In persian)
 7. Edwards, W. S., Tuckerman, L. S., Frienser, R. A., and Sorensen, D. C. "Krylov Methods for the Incompressible Navier-Stokes Equations," *J. Comp. Phys.* Vol. 110, No. 1, pp. 82-102, 1994.
 8. Lehoucq, R. B., and Scott, J. A. "Implicitly Restarted Arnoldi Methods and Subspace Iteration," *Siam. J. Matrix. Anal. Vol.* 23, pp. 551-562, 1997.
 9. Schmid, P. J. "Dynamic Mode Decomposition of Numerical and Experimental Data," *J. Fluid. Mech.* Vol. 656, pp. 5-28, 2010.
 10. Rowley, C. W., Mezic, I., Bagheri, S., Schilatter, P., and Henningson, D. S. "Spectral Analysis of Nonlinear Flows," *J. Fluid. Mech.* Vol. 641, pp. 115-127, 2009.
 11. Tomas, w.Muld., Efraimsson, G., and Henningson, D. S. "Flow Structures around a High-Speed Train Extracted Using Proper Orthogonal Decomposition and Dynamic Mode Decomposition," *Comput. Fluids.* Vol. 57, pp. 87-97, 2012.
 12. Duke, D., Soria, J., and Honnery, D. "An Error Analysis of the Dynamic Mode Decomposition," *Exp. Fluids.* Vol. 52, pp. 529-542, 2012.
 13. Seena, A., and Sung, H. J. "Spatiotemporal Representation of the Dynamic Modes in Turbulent Cavity Flows," *Int. J. Heat. Fluid. Flow.* Vol. 44, pp. 1-13, 2013.
 14. Liu, H., Yan, C., Zhao, Y., and Qin, Y. "Analysis of Pressure Fluctuation in Transonic Cavity Flows Using Modal Decomposition," *Aerosp. Sci. Technol.* Vol. 77, pp. 819-835, 2018.
 15. Hong, S. L., and Huang, G. P. "Introducing DMD Method to Study Dynamic Structures of Flow Separation With and Without Control," *Acta. Aeronaut. Astronaut. Sin.* Vol. 38, No. 8, 2017.
 16. Li, C. Y., Tse, T. K. T., and Hu, G. "Dynamic Mode Decomposition on Pressure Flow Field

۸-نتیجه‌گیری

در این مقاله به توسعه یک الگوی رتبه کاسته مبتنی بر تجزیه مود دینامیکی برای مدل‌سازی معادلات نفوذ-جابجایی و اصلاح پایداری آن پرداخته شده است. در این رویکرد، با استخراج ویژگی‌های اصلی سیستم و کاستن از قیود آن، به مدلی با ابعاد کمتر دست یافته شده که همچنان ویژگی‌های معادله اصلی را نیز دارد می‌باشد. نتایج حاصل نشان می‌دهند که رفتار مدل با افزایش عدد رینولدز دچار ناپایداری شده و قابلیت آن در پیش‌بینی دینامیک سیستم کاهش می‌باشد. به منظور پایدارسازی مدل رتبه کاسته از رویکردی مشابه با مفهوم لزجت گردابهای مشابه با آنچه در مدل‌سازی جریان‌های آشفته و به‌ویژه رویکرد شبیه‌سازی گردابهای بزرگ بکار می‌رود، بهره برده است. این کار با اضافه شدن ترم‌هایی جدید به عبارت‌های خطی و ثابت مدل رتبه کاسته انجام می‌گیرد. نتایج نشان می‌دهند که مدل اصلاح‌شده هم در بازه زمانی کوتاه و هم در بازه زمانی بلند دقیق قبولی با داده‌های حاصل از حل دقیق دارد. از آنجاکه در توسعه این فرم از مدل‌های رتبه کاسته از ماتریس داده‌ها برای آموزش مدل استفاده می‌شود در نتیجه سنجش توانایی مدل در پیش‌بینی رفتار سیستم در بازه‌های زمانی خارج از محدوده زمانی که نمایه‌های آموزش تولید شده‌اند، سیار حائز اهمیت است. با به کارگیری عبارات اصلاح در مدل رتبه کاسته، دقیق آن در پیش‌بینی رفتار سیستم در بازه‌های زمانی بلند نیز همچنان پایدار است. در نهایت بررسی‌ها حاکی از آن است که با وجود افزایش سرعت محاسبات، دقیق مدل نیز قابل قبول می‌باشد.

۷-مراجع

1. Liang, Y. C., Lee, H. P., Lim, S. P., Lin, W. Z., Lee, K. H., and Wu, C. G. "Proper Orthogonal Decomposition and Its Applications—Part I: Theory," *J. Sound. Vib.* Vol. 252, No. 3, pp. 527-544, 2002.
2. LeGresley, P., and Alonso, J. "Investigation of Non-linear Projection for POD Based Reduced Order Models for Aerodynamics," *Aerospace. Eng. Reno, NV, USA,* 2001.
3. Fagiano, L., and Gati, R. "On the Order Reduction of the Radiative Heat Transfer Model for the Simulation of Plasma Arcs in Switchgear Devices," *J. Quant. Spectrosc. Ra.* Vol. 169, pp.

- Aerod. Vol. 205, 2020.
- Dynamical Model for Simulation of Unsteady Incompressible Flows," Fluid Mechanics and Aerodynamics Journal. Vol. 1, No. 1, pp. 29-39, 2021. (In persian)
20. Sabaghzadegan, F. "Development Reduced-Order Models for Convection-Diffusion Problems Based on Proper Orthogonal Decomposition and Dynamic Mode Decomposition," M.Sc. Thesis, Department of Mechanical Engineering, University of Qom, 2019. (In persian)
- Analysis: Flow Field Reconstruction, Accuracy, and Practical Significance," J. Wind. Eng. Ind.
17. Sun, C., Tian, T., Zu, X., Hua, O., and Du, Z. "Investigation of the Near Wake of a Horizontal-Axis Wind Turbine Model by Dynamic Mode Decomposition," Energy. Vol. 227, 2021.
18. Moayyedi, M.K., and Sabaghzadegan, F. "Reduced Order Model of Conduction Heat Transfer in a Solid Plate Based on Dynamic Mode Decomposition," Sharif. J. Mech. Eng. Vol. 37, No. 3, 2021. (In persian)
19. Moayyedi, M.K., F. Sabetghadam, and M. Taeibi-Rahni. "Calibrated Low-dimensional POD